



Schweizerische Eidgenossenschaft
Confédération suisse
Confederazione Svizzera
Confederaziun svizra

Eidgenössisches Departement für
Umwelt, Verkehr, Energie und Kommunikation UVEK
Bundesamt für Umwelt BAFU

HOCHWASSERSTATISTIK

STATIONSBERICHT

Kander - Hondrich

weitere Erläuterungen: [Leitfaden](#)
Kontakt: hydroanalysen@bafu.admin.ch

Inhaltsverzeichnis

1	Datengrundlage	2
2	Resultate der parametrischen Verfahren	6
2.1	Block Maximum Ansatz (BLOCK)	7
2.1.1	Gesamte Auswertungsperiode: 1981-2015	7
2.1.1.a	Stationäre Modellvariante	7
2.1.1.b	Nicht stationäre Modellvariante	9
2.2	Peaks Over Threshold Ansatz (POT)	10
2.2.1	Auswertungsperiode POT: 1980-2015	11
2.2.1.a	Stationäre Modellvariante	11
2.2.1.b	Nicht stationäre Modellvariante	13
3	Vergleich der verschiedenen Resultate	15
3.1	Beurteilung der unterschiedlichen Auswertungsperioden	15
3.2	Allgemeiner Vergleich der verschiedenen Modellansätze	15
4	Literatur	17
Anhang		18
A	Bestimmung des Schwellenwerts zur Abgrenzung von Extremwerten	18
B	Glossar	19

1 Datengrundlage

Es stehen die folgenden Abflussdaten für die extremwertstatistischen Auswertungen zur Verfügung:

Vorhandene Daten	seit	bis
Digitale Monatsmaxima	01.05.1902	31.12.1978
	01.09.1980	31.12.2015
Digitale Tagesmaxima	17.08.1980	31.12.2015

Ein Limnigraph wurde am 11. März 1916 in Betrieb genommen. Die Werte der Monatsmaxima von 1902 bis 1921 wurden bei der Station 0/00307 Hondrich durchgeführt, anschliessend wurde die Station durch die BKW betrieben (2569/01398 BKW Kander, Hondrich). Ab 17.08.1980 wurden die Messungen bei der aktuellen Station durchgeführt. Da die älteren Daten noch nicht geprüft wurden, wird die Analyse erst ab diesem Zeitpunkt durchgeführt und nicht ab Limnigraphenbeginn der älteren Station.

Für die Auswertungen werden entweder die mit Limnigraph erfassten vollständigen Jahre der Monatsmaxima oder die digitalen Tagesmaxima verwendet (siehe Kapitel 2).

Der grösste Abfluss wurde wie folgt beobachtet:

Grösste Abflussspitze	Datum	Abfluss
Grösstes Monatsmaximum	22.08.2005	273 m ³ /s
Grösstes Tagesmaximum	22.08.2005	273 m ³ /s

Die Abflussdaten können folgendermassen charakterisiert werden:

Abflussverlauf	Beschreibung
Abflussregime	B-glacio-nival: Hohe Abflüsse im Sommer, tiefe Abflüsse im Winter
Ausprägung der Saisonalität	In Monats- und Tagesmaxima deutlich zu erkennen (Abbildung 3 und Abbildung 4)
Beeinflussung	Beeinflussung durch einige Laufkraftwerke im Engstligen- und Kanderthal. Die meisten Inbetriebnahmen liegen allerdings vor Beginn der Auswertungsperiode und stellen keine Veränderung innerhalb des Untersuchungszeitraumes dar. Die Kraftwerke sind zudem relativ weit oben im Einzugsgebiet und haben somit keine Auswirkungen auf die Jahresmaxima. Ab 1999 ergibt sich ein stark verändertes Abflussbild (s. Abbildung 1: Die Veränderungen können aber nicht bekannten Beeinflussungen zugeordnet werden.

Die Jahresmaxima bewegen sich zwischen ungefähr 80 und 270 m³/s, wobei die Werte in diesem Bereich stark streuen. Vor 1999 liegen die Jahresmaxima zwischen 80 und 140 m³ mit einer relativ geringen Varianz. Die zehn stärksten Abflüsse sind alle nach 1999 aufgetreten, wobei sogar Werte über 250 m³/s vorkommen. Dabei ist die Varianz deutlich grösser. Die Bruchpunktanalyse ergibt dementsprechend einen signifikanten Bruchpunkt um 1999 (Konfidenzintervall 1988-2000). Zunehmende Gletscherschmelze führt möglicherweise zu grösseren Abflüssen, jedoch spielt sich dieser Prozess nicht sprunghaft ab und bietet keine Erklärung für den Bruchpunkt. Auch Kraftwerke können ihn nicht erklären, da deren Beeinflussungen zu gering sind. Aus diesem Grund wird entschieden, keine Auswertungsperiode ab Bruchpunkt zu berücksichtigen.

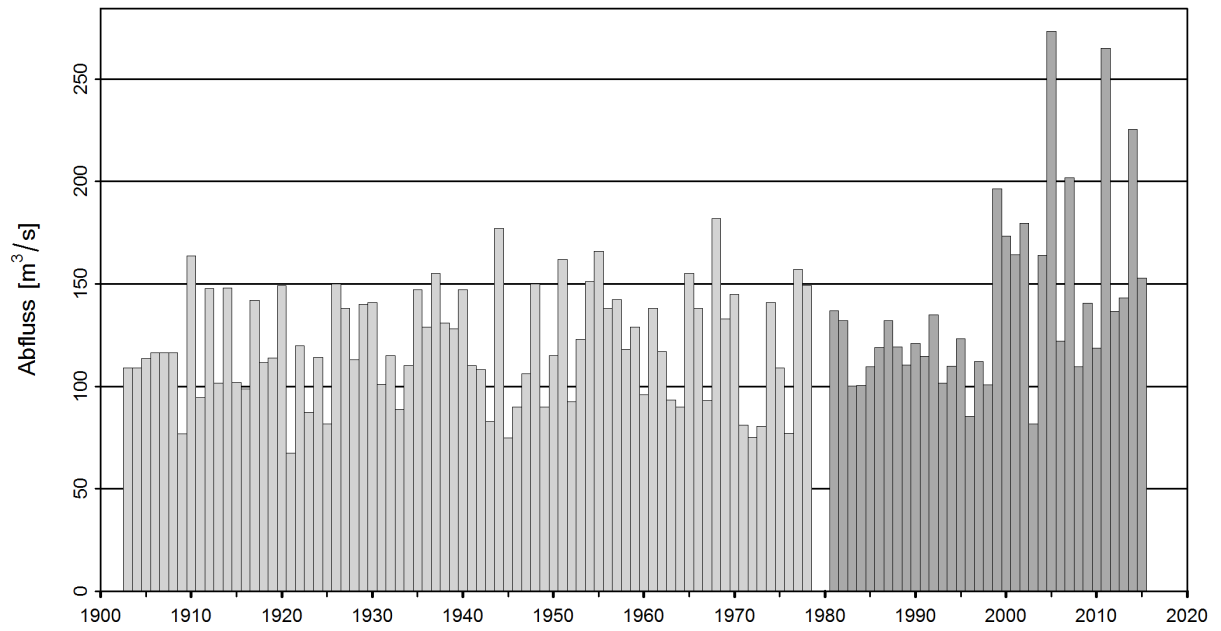


Abbildung 1: Zeitreihe der Jahresmaxima [m^3/s] (1902 - 2015, hellgrau: nicht für die Statistik verwendete Jahresmaxima, dunkelgrau: verwendete Jahresmaxima)

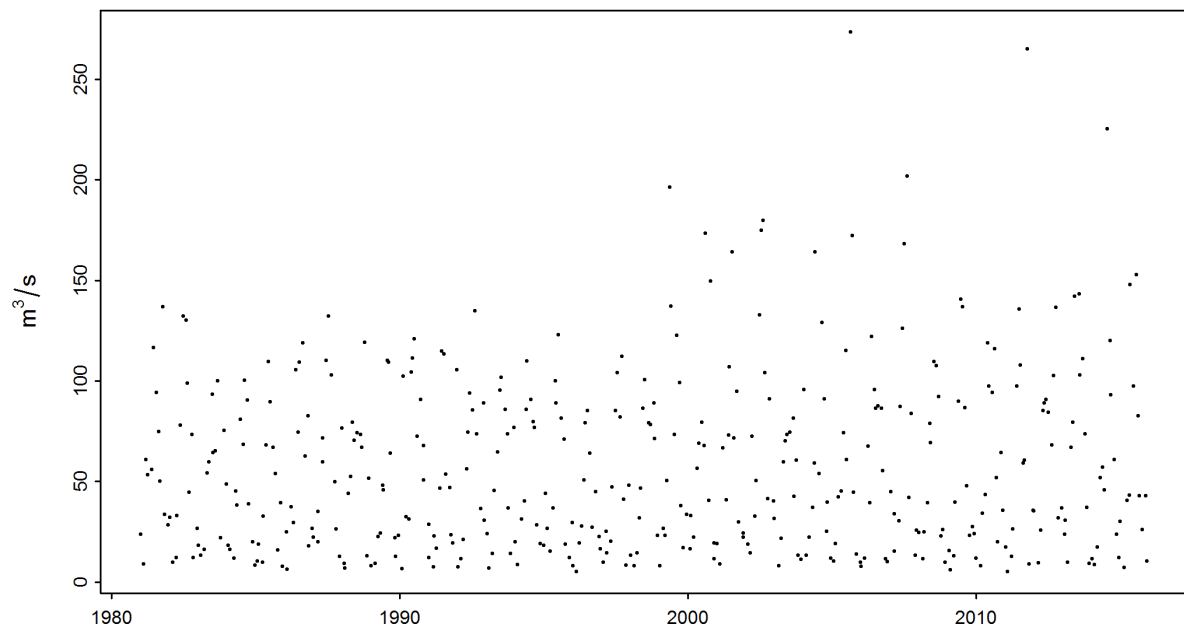


Abbildung 2: Zeitreihe der Monatsmaxima [m^3/s] (01.01.1981 - 31.12.2015)

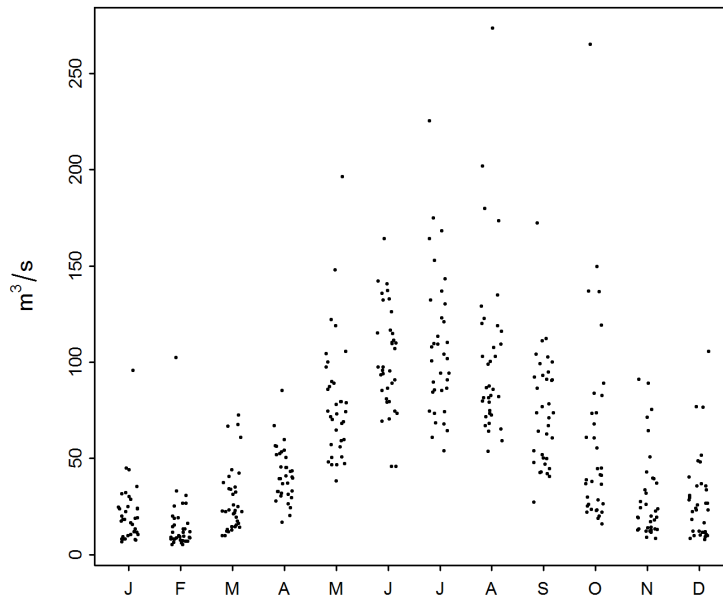


Abbildung 3: Saisonaler Verlauf der Monatsmaxima [m^3/s] (01.01.1981 - 31.12.2015)

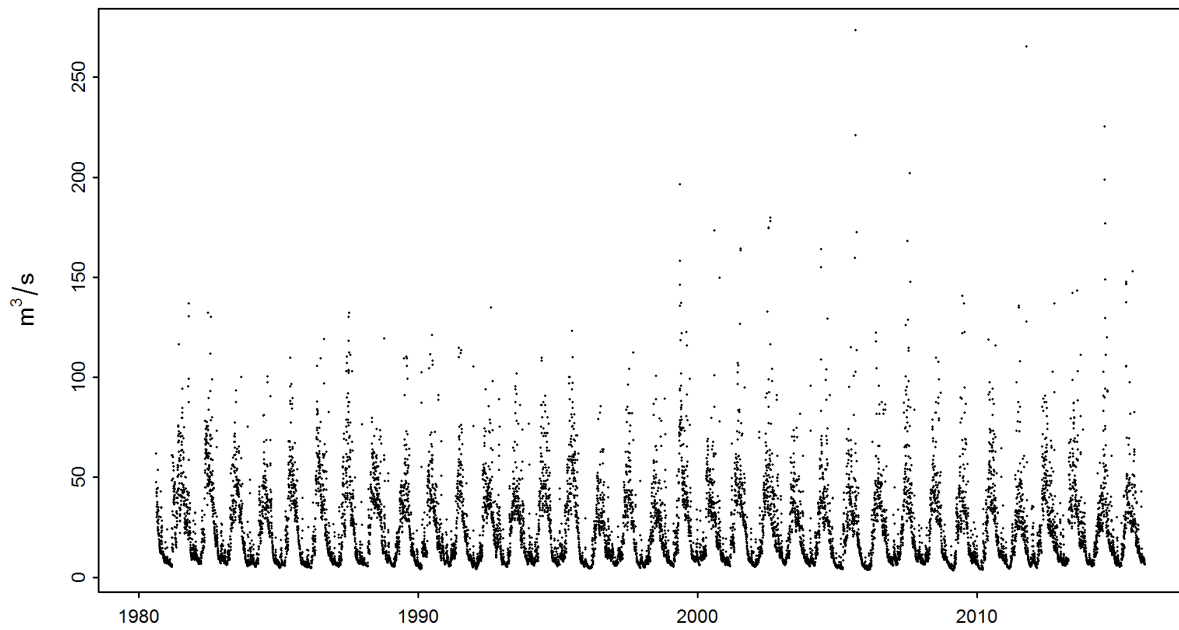


Abbildung 4: Zeitreihe der maximalen Tagesabflüsse [m^3/s] (17.08.1980 - 31.12.2015)

Fazit für die Modellvarianten

Veränderungen	Auswirkungen	Folgerungen
Einige Laufkraftwerke	Gering, allerdings verändertes Abflussbild ab 1999	Vermutlich nicht stationär

Bruchpunktanalyse

Jahr	Signifikanter Bruchpunkt	Folgerungen
1998 / 1999	ja	Keine Unterteilung der Auswertungsperiode, da nicht aus Unterlagen zu Station und Einzugsgebiet begründbar. Verwendung 1999 als t_0 (siehe Kapitel 2).

2 Resultate der parametrischen Verfahren

Mit Hilfe von zwei parametrischen Verfahren (BLOCK- und POT-Ansatz) werden Hochwasserwahrscheinlichkeiten HQ_T abgeschätzt. Die beiden Ansätze unterscheiden sich in der Methode wie Extremwerte identifiziert werden. Sie basieren auf folgenden Modelleingangsdaten und Parametern:

Parametrisches Verfahren	Parameter	Modelleingangsdaten
Block Maximum (BLOCK)	μ Lageparameter	Jahresmaxima
	σ Skalenparameter	
	κ Formparameter	
Peaks Over Threshold (POT)	λ Ereignisrate	Tagesmaxima
	σ Skalenparameter ¹	
	κ Formparameter	

Für beide parametrischen Ansätze wird jeweils der stationäre Fall berechnet. Das heisst es wird angenommen, dass alle Parameter der Verteilungsfunktion über den gesamten Untersuchungszeitraum konstant sind. Wenn die Stationsgeschichte jedoch eine zeitliche Veränderung vermuten lässt, können die Parameter der entsprechenden Verteilungsfunktion zeitlich abhängig modelliert werden. Folgende, in Tabelle 1 und Tabelle 2 aufgeführten Modellvarianten werden verwendet:

Tabelle 1: Verwendete Modellvarianten des BLOCK-Ansatzes. μ Lageparameter (mu), σ Skalenparameter (sigma), κ Formparameter (kappa)

Modellvarianten BLOCK			
Name	Beschreibung	Parameter (t: Jahr)	Anzahl Parameter
stat	Stationäre Variante	μ, σ, κ	3
mul	Linearer Trend von μ	$\mu = a_1 + a_2 * t, \sigma, \kappa$	4
muq	Quadratischer Trend von μ	$\mu = a_1 + a_2 * t + a_3 * t^2, \sigma, \kappa$	5
sigl	Linearer Trend von σ	$\mu, \sigma = b_1 + b_2 * t, \kappa$	4
musigl	Linearer Trend von μ und σ	$\mu = a_1 + a_2 * t, \sigma = b_1 + b_2 * t, \kappa$	5
mujump	Nicht-kontinuierliche Veränderung von μ zum Zeitpunkt t_0	$\mu = a_1 + a_2 * i, \sigma, \kappa,$ $i = 0$ für $t < t_0, i = 1$ für $t \geq t_0$	4

Tabelle 2: Verwendete Modellvarianten des POT-Ansatzes. σ Lageparameter (sigma), κ Formparameter (kappa)

Modellvarianten POT			
Name	Beschreibung	Parameter (t: Jahr)	Anzahl Parameter
stat	Stationäre Variante	σ, κ	2
sigl	Linearer Trend von σ	$\sigma = b_1 + b_2 * t, \kappa$	3
sigjump	Nicht-kontinuierliche Veränderung von σ zum Zeitpunkt t_0	$\sigma = b_1 + b_2 * i, \kappa,$ $i = 0$ für $t < t_0, i = 1$ für $t \geq t_0$	3

Die Güte der Modellvarianten wird jeweils grafisch mit Hilfe eines Probability und eines Quantile Plots beurteilt (siehe z.B. Abbildung 5 oben und [Leitfaden](#) Kapitel 2.2.3). Je besser die Daten auf der Einheitsdiagonale liegen, desto eher kann davon ausgegangen werden, dass die Modellannahmen korrekt sind. Anhand eines Ablaufschemas wird schliesslich entschieden, welches nicht stationäre Modell allenfalls weiterverwendet wird (siehe Abbildung 5 im [Leitfaden](#) Kapitel 2.1.3). Im Folgenden sind jeweils die Verfahren mit den besten Resultaten aufgeführt.

¹Der Skalenparameter σ des POT-Ansatzes ist numerisch nicht identisch mit dem σ des BLOCK-Ansatzes.

2.1 Block Maximum Ansatz (BLOCK)

Der Block Maximum Ansatz (BLOCK) definiert den höchsten Wert innerhalb eines Zeitintervalls (Block, im vorliegenden Fall ein Jahr) als Extremwert.

Folgende Varianten des BLOCK-Ansatzes werden in diesem Bericht beschrieben:

Auswertungs- periode	Beschreibung	ausgewählte Modellvariante	Kapitel
1981 - 2015	gesamte Auswertungsperiode	stat sigl	Kapitel 2.1.1.a Kapitel 2.1.1.b

2.1.1 Gesamte Auswertungsperiode: 1981-2015

2.1.1.a Stationäre Modellvariante

Verfahren	Modellvariante	Auswertungsperiode	Modelleingangsdaten	Bemerkung
BLOCK	stat	1981-2015	Jahresmaxima	-

Verwendete Anzahl Werte und geschätzte Modellparameter:

Anzahl Werte n	Lageparameter $\hat{\mu}$	Skalenparameter $\hat{\sigma}$	Formparameter $\hat{\kappa}$
35	118.18	27.53	0.1943

Die Güte der Modellvariante „stat“ über die gesamte Auswertungsperiode wird grafisch anhand der in Abbildung 5 dargestellten Diagnostikplots beurteilt.

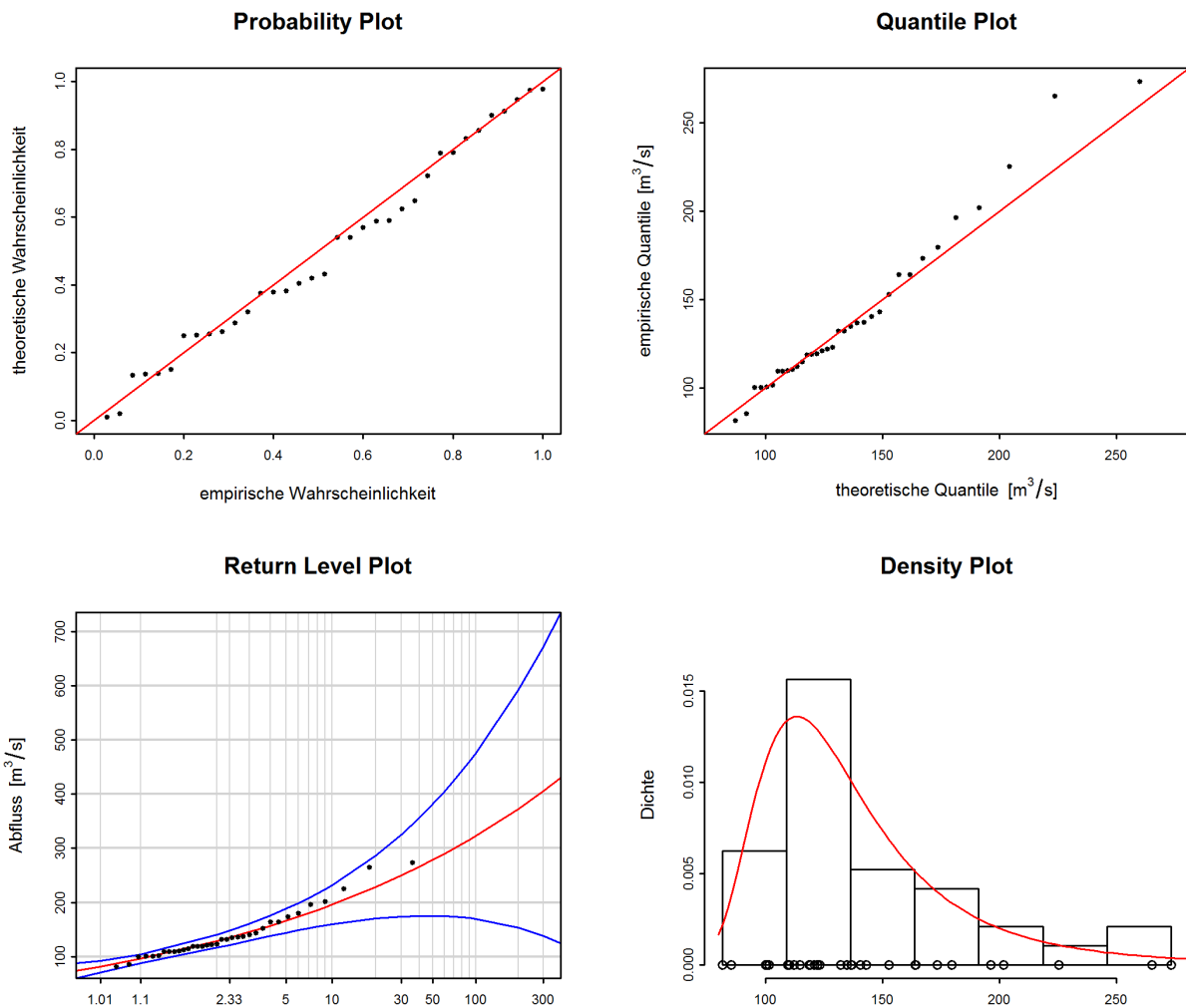


Abbildung 5: Diagnostikplots der Modellvariante „stat“ des BLOCK-Ansatzes (1981-2015)

Bewertung Diagnostikplots (Abbildung 5):

Kriterien	Bewertung ²	Bemerkungen
Anpassung unterer Bereich	gut	-
Anpassung mittlerer Bereich	gut-mittel	einige Werte etwas unterschätzt
Anpassung oberer Bereich	mittel	ein Wert deutlich unterschätzt, Spitze relativ gut getroffen
Konfidenzintervall	gross	für grosse Wiederkehrperioden sehr gross

Folgende Tabelle enthält die Abflussmengen für verschiedene Wiederkehrperioden, berechnet mit dem stationären BLOCK-Ansatz über die gesamte Auswertungsperiode 1981-2015 (inkl. 95% - Konfidenzintervall berechnet über die Deltamethode):

HQ _T	untere Konfidenzgrenze [m³/s]	Abfluss [m³/s]	obere Konfidenzgrenze [m³/s]
HQ ₂	116	129	141
HQ ₁₀	160	196	232
HQ ₃₀	174	250	326
HQ ₁₀₀	170	323	476
HQ ₃₀₀	139	406	672

²Siehe [Leitfaden](#) Kapitel 2.2.3

2.1.1.b Nicht stationäre Modellvariante

Der Vergleich der verschiedenen Modellvarianten des BLOCK-Ansatzes über die gesamte Auswertungsperiode zeigt, dass sich die Modelle „muq“, „sigl“ und „musigl“ signifikant vom stationären Modell („stat“) unterscheiden.³ Aufgrund des im Ablaufschema beschriebenen Vergleichsansatzes verschiedener nicht stationärer Modellvarianten kommt „sigl“ als bestes nicht stationäres Modell in Frage. Die Unterschiede zwischen den Modellen sind nur geringfügig. Daher werden im Folgenden die Resultate von „sigl“ dargestellt (siehe Abbildung 5 im [Leitfaden](#)).

Verfahren	Modellvariante	Auswertungsperiode	Modelleingangsdaten	Bemerkung
BLOCK	sigl	1981-2015	Jahresmaxima	-

Verwendete Anzahl Werte und geschätzte Modellparameter:

Anzahl Werte n	Lageparameter $\hat{\mu}$	Skalenparameter $\hat{\sigma}^4$		Formparameter $\hat{\kappa}$
		b_1	b_2	
35	114.13	9.52	1.01	0.0685

Die Güte der Modellvariante „sigl“ über die gesamte Auswertungsperiode wird grafisch anhand der in Abbildung 6 dargestellten Diagnostikplots beurteilt.

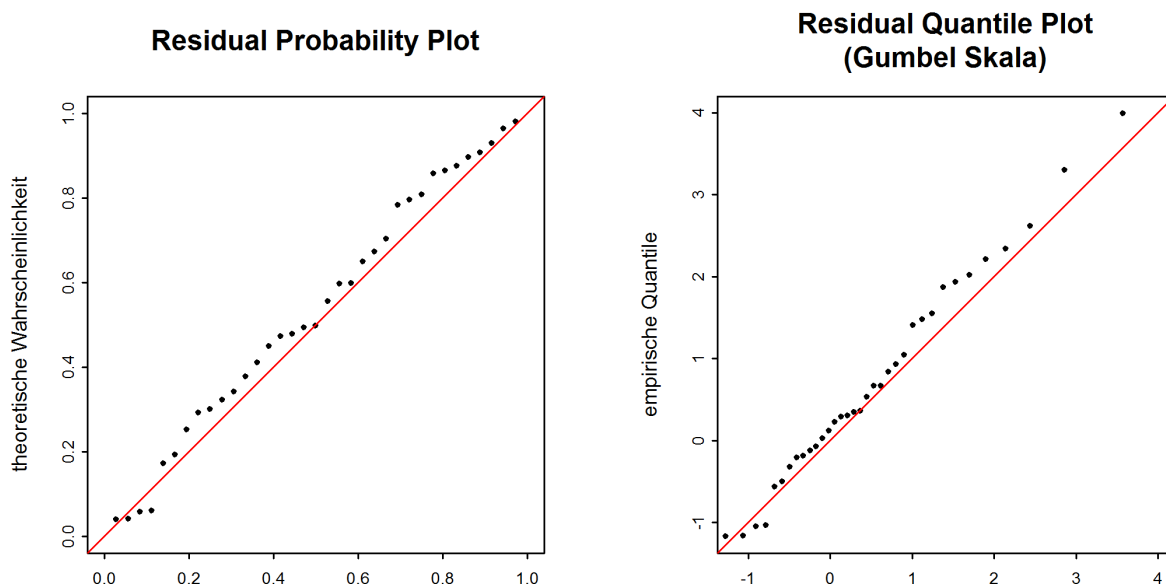


Abbildung 6: Diagnostikplots der Modellvariante „sigl“ des BLOCK-Ansatzes (1981-2015)

Bewertung Diagnostikplots (Abbildung 6):

Kriterien	Bewertung ⁵	Bemerkungen
Anpassung unterer Bereich	gut	-
Anpassung mittlerer Bereich	gut-mittel	einige Werte etwas unterschätzt
Anpassung oberer Bereich	gut-mittel	Werte etwas unterschätzt
Vergleich mit stationärem Modell	verbessert	einige Werte näher an Einheitsdiagonale

³Als Zeitpunkt t_0 für das Modell „mujump“ wird aufgrund des Resultats der Bruchpunktanalyse das Jahr 1999 gewählt (siehe Kapitel 1).

⁴ $\hat{\sigma} = b_1 + b_2 \cdot t$ (s. Tabelle 1)

⁵Siehe [Leitfaden](#) Kapitel 2.2.3

Folgende Tabelle enthält die für das aktuellste Jahr (2015) bestimmten Abflussmengen für verschiedene Wiederkehrperioden, berechnet mit der Modellvariante „sigl“ des BLOCK-Ansatzes über die gesamte Auswertungsperiode 1981-2015 (inkl. 95%-Konfidenzintervall berechnet über die Deltamethode):

HQ_T	untere Konfidenzgrenze [m^3/s]	Abfluss [m^3/s]	obere Konfidenzgrenze [m^3/s]
HQ_2	119	131	142
HQ_{10}	179	223	267
HQ_{30}	198	285	371
HQ_{100}	191	356	522
HQ_{300}	155	426	698

In Abbildung 7 ist die Veränderung des mit dem Modell „sigl“ berechneten HQ_{100} zwischen 1981 und 2015 dargestellt.

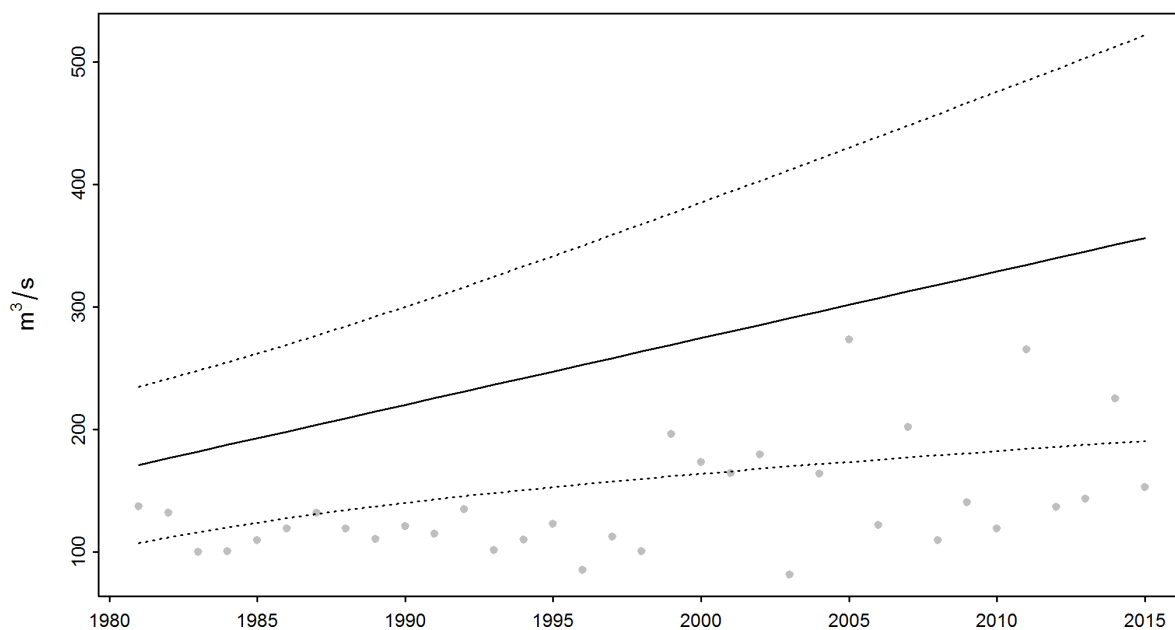


Abbildung 7: Veränderung der mit der Modellvariante „sigl“ berechneten HQ_{100} (durchgezogene Linien) und des 95%-Konfidenzintervalls (Deltamethode; gestrichelte Linien) über die Jahre 1981-2015

2.2 Peaks Over Threshold Ansatz (POT)

Beim Peaks Over Threshold Ansatz (POT) gelten Werte als Extremereignisse, wenn sie einen hohen Schwellenwert u überschreiten.

Zur Berechnung des POT-Ansatzes werden die Tagesmaxima ab 1980 verwendet. Vor der Bearbeitung müssen diese von Clustern bereinigt werden. Für Kander - Hondrich wird der Zeitabstand L zwischen zwei unabhängigen Ereignissen auf den Mindestwert von 11 Tagen festgelegt.

Folgende Modellvarianten des POT-Ansatzes wurden analysiert:

Auswertungsperiode	Beschreibung	ausgewählte Modellvariante	Kapitel
1980 - 2015	Auswertungsperiode POT	stat sigjump	Kapitel 2.2.1.a Kapitel 2.2.1.b

2.2.1 Auswertungsperiode POT: 1980-2015

Im vorliegenden Fall wurde als Schwellenwert u $102 \text{ m}^3/\text{s}$ gewählt (siehe Anhang A). Abbildung 8 zeigt die effektiv verwendeten Extremereignisse.

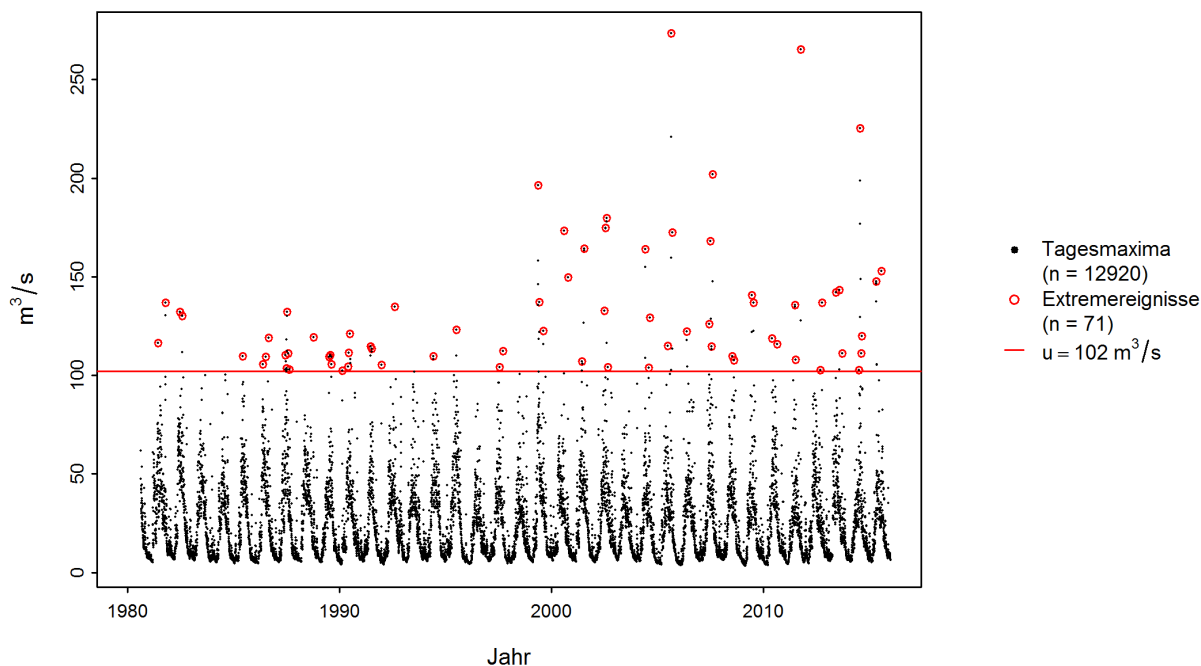


Abbildung 8: Auswahl der für den POT-Ansatz verwendeten Extremereignisse

2.2.1.a Stationäre Modellvariante

Verfahren	Modellvariante	Auswertungsperiode	Modelleingangsdaten	Bemerkung
POT	stat	1980-2015	Tagesmaxima	-

Verwendete Anzahl Werte und geschätzte Modellparameter:

Schwellenwert	Anzahl Werte	Ereignisrate	Skalenparameter	Formparameter
u	n	$\hat{\lambda}$	$\hat{\sigma}$	$\hat{\kappa}$
$102 \text{ m}^3/\text{s}$	71	1.97	24.63	0.1893

Die Güte der Modellvariante „stat“ über die Auswertungsperiode POT wird grafisch anhand der in Abbildung 9 dargestellten Diagnostikplots beurteilt.

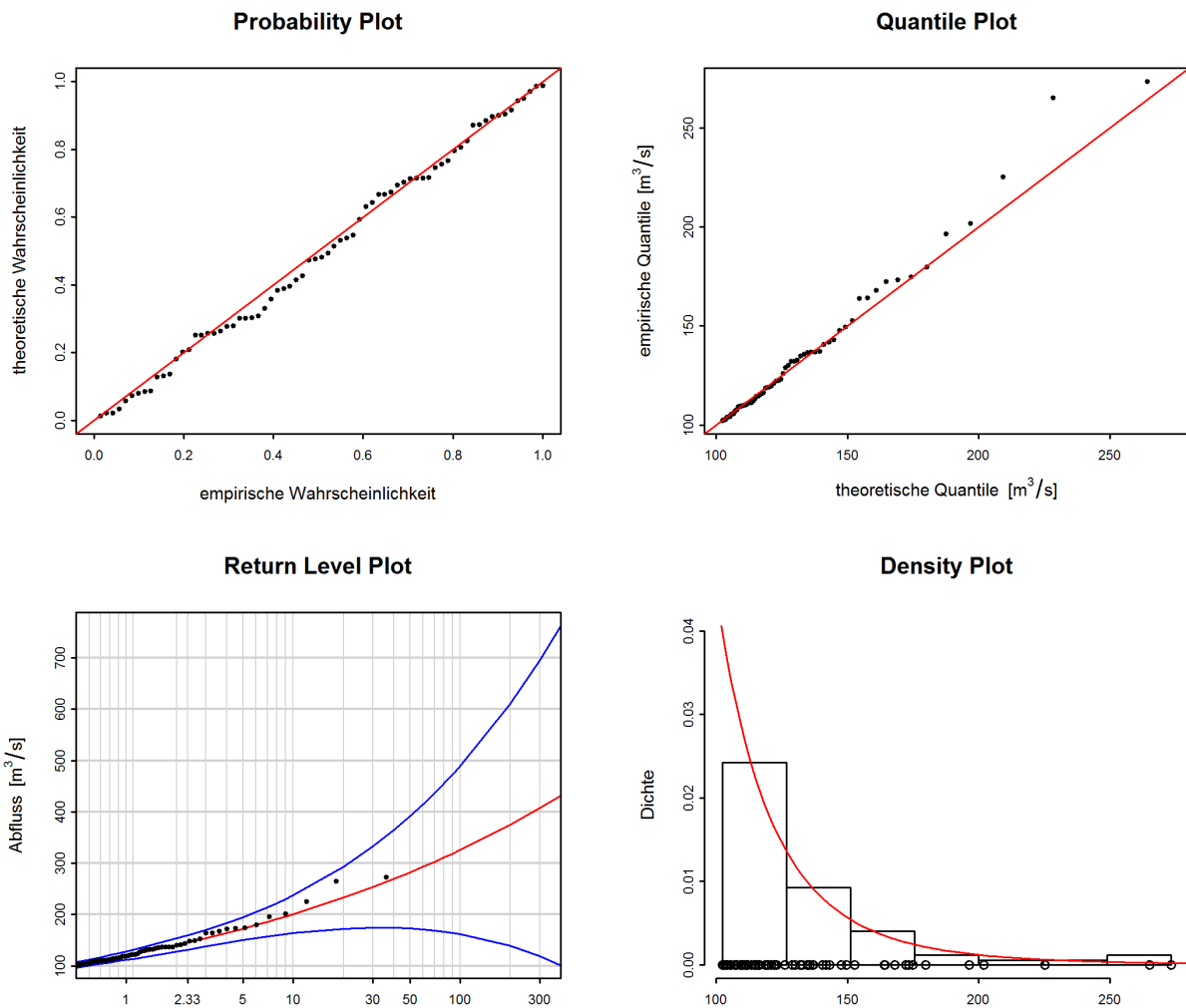


Abbildung 9: Diagnostikplots der Modellvariante „stat“ des POT-Ansatzes (1980-2015)

Bewertung Diagnostikplots (Abbildung 9):

Kriterien	Bewertung ⁶	Bemerkungen
Anpassung unterer Bereich	gut	-
Anpassung mittlerer Bereich	gut	-
Anpassung oberer Bereich	mittel	ein Wert stark unterschätzt, Spitze relativ gut getroffen
Konfidenzintervall	gross	für grosse Wiederkehrperioden extrem gross

⁶Siehe [Leitfaden](#) Kapitel 2.2.3

Folgende Tabelle enthält die Abflussmengen für verschiedene Wiederkehrperioden, berechnet mit dem stationären POT-Ansatz über die Auswertungsperiode POT 1980-2015 (inkl. 95% - Konfidenzintervall berechnet über die Deltamethode):

HQ _T	untere Konfidenzgrenze [m ³ /s]	Abfluss [m ³ /s]	obere Konfidenzgrenze [m ³ /s]
HQ ₂	128	141	153
HQ ₁₀	164	201	237
HQ ₃₀	174	254	333
HQ ₁₀₀	162	326	489
HQ ₃₀₀	119	407	696

2.2.1.b Nicht stationäre Modellvariante

Der Vergleich der verschiedenen Modelle zeigt, dass sich die Modelle „sigl“ und „sigjump“ signifikant vom stationären Modell „stat“ unterscheiden.⁷ Am besten schneidet dabei die Variante „sigjump“ ab, deren Resultate im Folgenden dargestellt sind (siehe Abbildung 5 im [Leitfaden](#)).

Verfahren	Modellvariante	Auswertungsperiode	Modelleingangsdaten	Bemerkung
POT	sigjump1999	1980-2015	Tagesmaxima	-

Verwendete Anzahl Werte und geschätzte Modellparameter:

Schwellenwert	Anzahl Werte	Ereignisrate	Skalenparameter $\hat{\sigma}^8$		Formparameter
			b_1	b_2	$\hat{\kappa}$
102 m ³ /s	71	1.97	13.93	36.04	-0.1499

Die Güte der „sigjump1999“ Modellvariante über die Auswertungsperiode POT wird grafisch anhand der in Abbildung 10 dargestellten Diagnostikplots beurteilt.

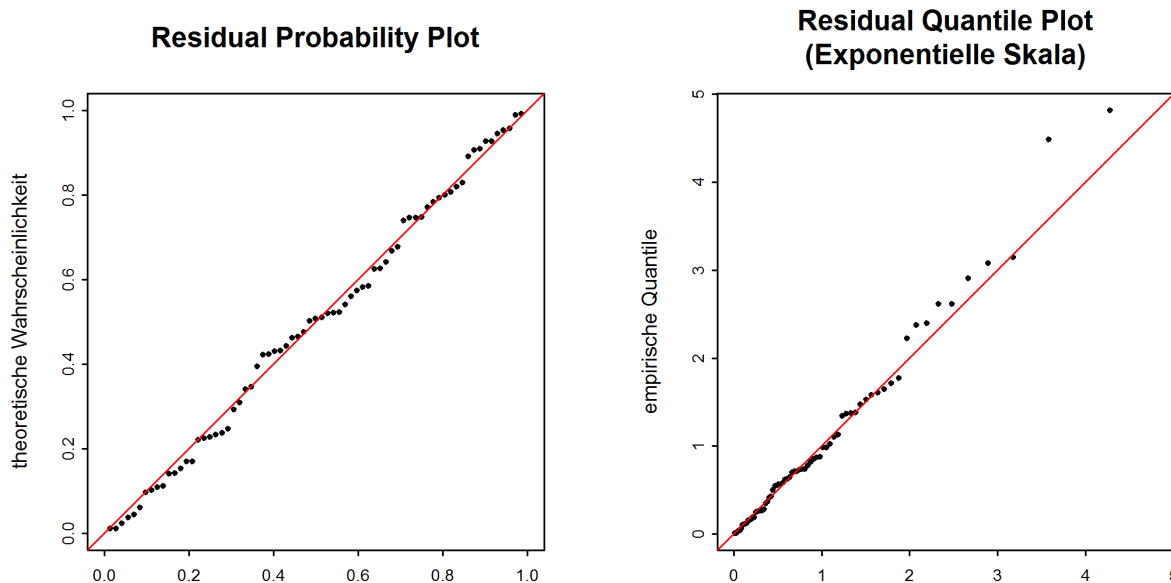


Abbildung 10: Diagnostikplots der Modellvariante „sigjump1999“ des POT-Ansatzes (1980-2015)

⁷Als Zeitpunkt t_0 für das Modell „sigjump“ wird aufgrund des Resultats der Bruchpunktanalyse das Jahr 1999 gewählt (siehe Kapitel 1).

⁸ $\hat{\sigma} = b_1 + b_2 * i, i = 0$ für $t < t_0, i = 1$ für $t \geq t_0$ (s. Tabelle 1)

Bewertung Diagnostikplots (Abbildung 10):

Kriterien	Bewertung ⁹	Bemerkungen
Anpassung unterer Bereich	gut	-
Anpassung mittlerer Bereich	gut	-
Anpassung oberer Bereich	mittel-schlecht	höchste Werte unterschätzt
Vergleich mit stationärem Modell	verschlechtert	höhere Werte weiter weg von Einheitsdiagonale

Folgende Tabelle enthält die für das aktuellste Jahr (2015) bestimmten Abflussmengen für verschiedene Wiederkehrperioden, berechnet mit der Modellvariante „sigjump1999“ des POT-Ansatzes über die Auswertungsperiode POT 1980-2015 (inkl. 95%-Konfidenzintervall berechnet über die Deltamethode):

HQ _T	untere Konfidenzgrenze [m ³ /s]	Abfluss [m ³ /s]	obere Konfidenzgrenze [m ³ /s]
HQ ₂	143	164	185
HQ ₁₀	191	222	253
HQ ₃₀	211	255	298
HQ ₁₀₀	220	284	349
HQ ₃₀₀	220	307	395

In Abbildung 11 ist die Veränderung des mit dem Modell „sigjump1999“ berechneten HQ₁₀₀ zwischen 1980 und 2015 dargestellt.

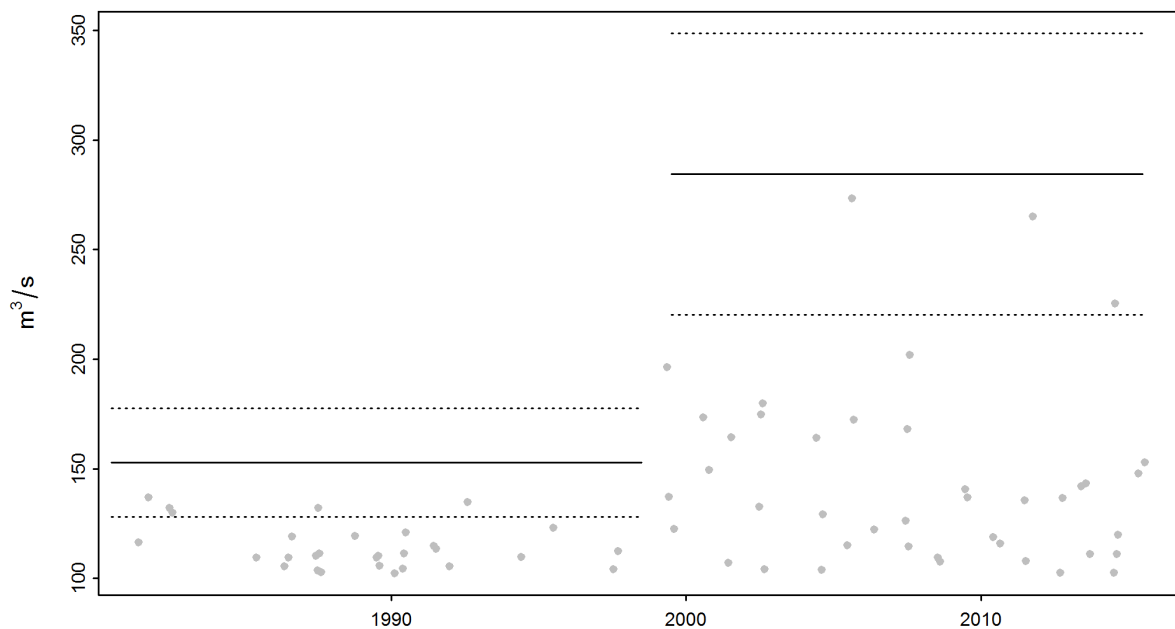


Abbildung 11: Veränderung der mit der Modellvariante „sigjump1999“ berechneten HQ₁₀₀ (durchgezogene Linien) und des 95%-Konfidenzintervalls (Deltamethode; gestrichelte Linien) über die Jahre 1980-2015

⁹Siehe [Leitfaden](#) Kapitel 2.2.3

3 Vergleich der verschiedenen Resultate

Abbildung 12 zeigt die HQ_T der stationären sowie jener nicht stationären Modellvarianten, welche bei beiden parametrischen Verfahren jeweils am besten an die Daten angepasst waren. Sowohl die Werte wie auch die Grösse der Konfidenzintervalle, welche ein Mass für die Unsicherheit sind, variieren stark. Generell werden diese Unterschiede grösser, je grösser die Wiederkehrperiode T ist.

3.1 Beurteilung der unterschiedlichen Auswertungsperioden

Die verwendeten Auswertungsperioden vom BLOCK- und POT-Ansatz unterscheiden sich nur geringfügig. Da der BLOCK-Ansatz nur für vollständige Jahre angewendet wird und der POT-Ansatz auch für angebrochene Jahre Sinn macht, beginnt die Auswertungsperiode POT knapp vier Monate früher als die gesamte Auswertungsperiode des BLOCK-Ansatzes. Schliesslich gibt es aber kein Ereignis, welches beim POT-Ansatz berücksichtigt wird und nicht in der Auswertungsperiode BLOCK enthalten sind.

3.2 Allgemeiner Vergleich der verschiedenen Modellansätze

In Abbildung 12 und der zugehörigen Tabelle sind die Resultate der verschiedenen Modellansätze zusammengefasst und zeigen folgende Sachverhalte auf:

Differenzen der Resultate der berechneten HQ_T der beiden Ansätze:

Die HQ_T des POT-Ansatzes liegen für sehr kleine Wiederkehrperioden höher und für mittlere bis grosse Wiederkehrperioden eher tiefer als diejenigen des BLOCK-Ansatzes.

Differenzen der berechneten Konfidenzintervalle der beiden Ansätze:

Allgemein nehmen die Unsicherheiten und somit die Konfidenzintervalle zu, je grösser die Wiederkehrperiode T ist. Die Konfidenzintervalle der verschiedenen Ansätze unterscheiden sich nur geringfügig, allerdings weist die nicht stationäre Variante des POT-Ansatzes deutlich tiefere Konfidenzintervalle auf.

Vergleich von stationären und nicht stationären Varianten:

Beim BLOCK-Ansatz kann mit einer nicht stationären Variante die Modellgüte zu einem geringen Ausmass verbessert werden, da die Zunahme grosser Hochwasser sowie der Varianz in den letzten Jahren in das Modell einbezogen wird. Die berechneten Wiederkehrwerte für das Jahr 2015 sind in der Folge etwas höher als mit den stationären Modellvarianten. Beim POT-Ansatz kann mit einer nicht stationären Variante die Modellgüte nicht verbessert werden, da die höchsten Werte dadurch stärker unterschätzt werden. Das Modell weist zwar deutlich kleinere Konfidenzintervalle auf, doch werden die Daten damit nicht besser getroffen. Eine Aussage über die zukünftige Entwicklung ist nicht möglich, da den Veränderungen keine eindeutigen Ursachen zugewiesen werden können.

Für die Beantwortung konkreter Fragestellungen bilden die Resultate dieser statistischen Auswertungen nur eine von verschiedenen Grundlagen. Kenntnisse über die hydrologischen Prozesse im Einzugsgebiet, Überlegungen zu Worst-Case-Szenarien für Niederschlag und Abfluss etc. sind unerlässlich, um das Hochwasserrisiko abzuschätzen. Die Abteilung Hydrologie des BAFUs befürwortet eine „hydrologisch-argumentative Vorgehensweise“ wie sie Merz und Blöschl (2008 zitiert in DWA 2015:52) vorschlagen.

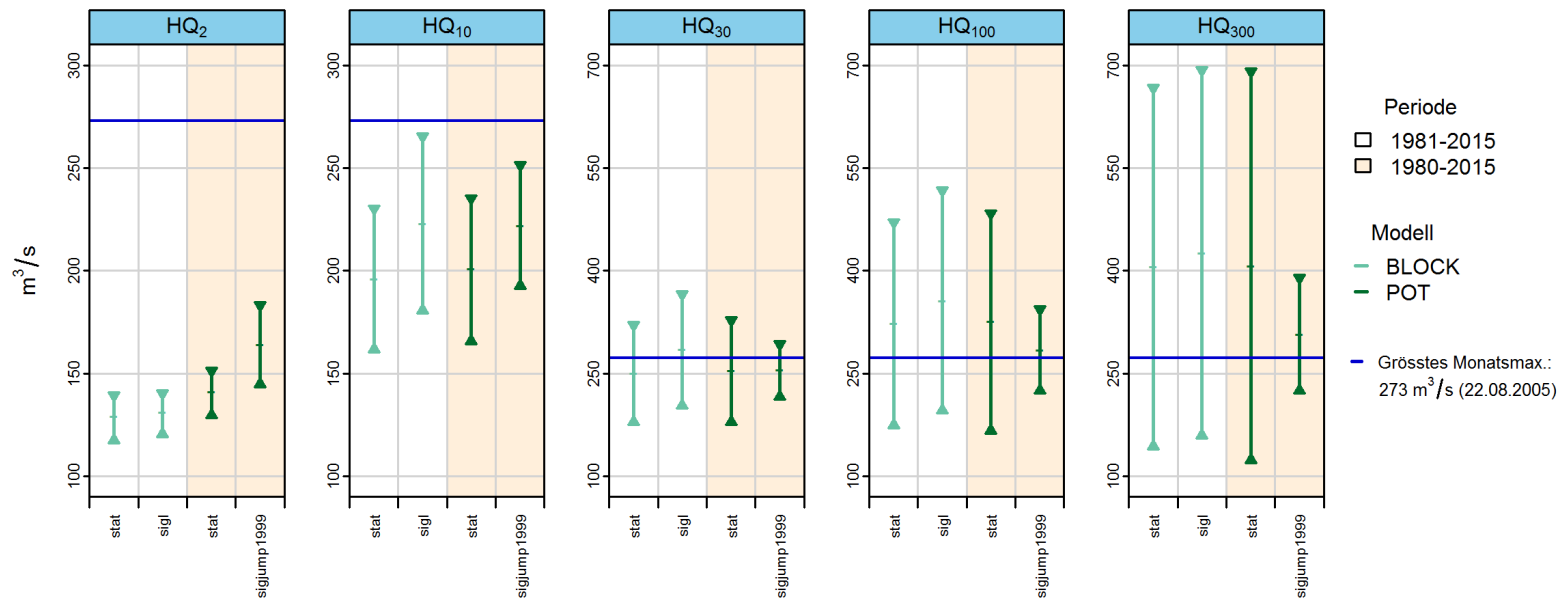


Abbildung 12: HQ_T [m^3/s] inkl. 95%-Konfidenzintervalle, berechnet mit den stationären sowie den jeweils bestangepassten Modellvarianten des BLOCK- und POT-Ansatzes für das Jahr 2015

Auswertungsperiode	Verfahren	Anpassung			Bemerkung
1981 - 2015	BLOCK stat	gut	gut-mittel	mittel	ein Wert deutlich unterschätzt, Spitze relativ gut getroffen
	BLOCK sigl	gut	gut-mittel	gut-mittel	Werte etwas unterschätzt einige Werte näher an Einheitsdiagonale
1980 - 2015	POT stat	gut	gut	mittel	ein Wert stark unterschätzt, Spitze relativ gut getroffen
	POT sigjump1999	gut	gut	mittel-schlecht	höchste Werte unterschätzt höhere Werte weiter weg von Einheitsdiagonale

4 Literatur

BAFU (2015): Leitfaden zu den Stationsberichten der Hochwasserstatistik. BAFU, Bern.

Baumgartner, E., Boldi, M.-O., Kan, C., Schick, S. (2013): Hochwasserstatistik am BAFU - Diskussion eines neuen Methodensets. Wasser Energie Luft, Heft 2/2013. Baden.

BWG (Hrsg.) (2003a): Wörterbuch Hochwasserschutz. Haupt Verlag, Bern.

BWG (Hrsg.) (2003b): Hochwasserabschätzung in schweizerischen Einzugsgebieten. Praxishilfe. Berichte des BWG, Serie Wasser Nr. 4, Bern.

Coles, S. (2001): An Introduction to Statistical Modeling of Extreme Values. Springer. London.

DWA (Hrsg.) (2012): Merkblatt DWA-M 552. Ermittlung von Hochwasserwahrscheinlichkeiten. Deutsche Vereinigung für Wasserwirtschaft, Abwasser und Abfall e. V. Hennef.

Anhang

A Bestimmung des Schwellenwerts zur Abgrenzung von Extremwerten

Der Schwellenwert u zur Abgrenzung der Extremwerte des POT-Ansatzes für die Auswertungsperiode 1980 - 2015 (siehe Kapitel 2.2.1) wird anhand des „mean residual life plots“ auf $102 \text{ m}^3/\text{s}$ festgelegt (siehe Abbildung 13).

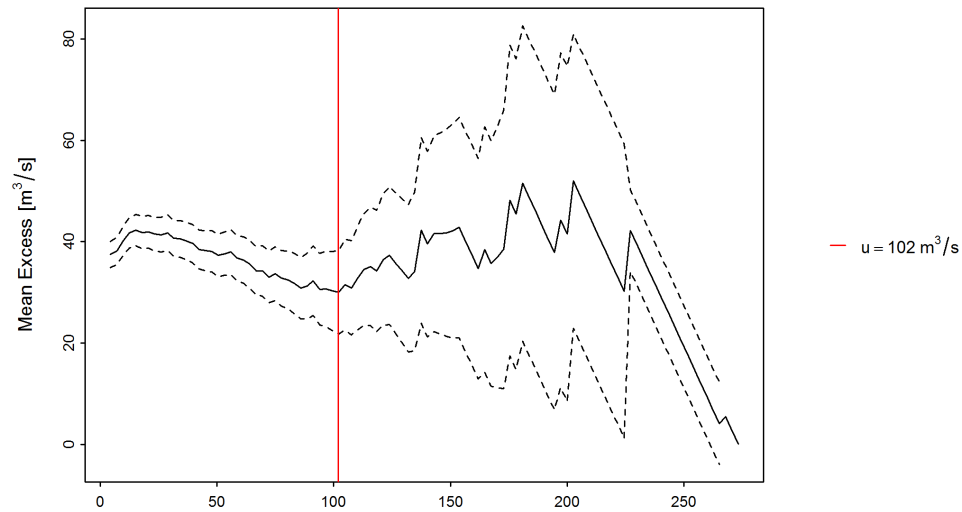


Abbildung 13: „mean residual life plot“ mit gewähltem Schwellenwert u (rote Linie) mean Excess (schwarze Linie), 95%-Konfidenzintervall (gestrichelte Linien)

B Glossar

Auswertungsperiode	Begrenzter Zeitraum, aus welchem eine Stichprobe der Hochwasserabflüsse stammt, die als repräsentativ für die Grundgesamtheit angenommen wird. Es wird davon ausgegangen, dass die Eigenschaften der Grundgesamtheit mit dieser Stichprobe annähernd abgebildet werden.
Devianzstatistik	Mit der Devianzstatistik kann die Anpassungsgüte eines Modells für einen gegebenen Datensatz untersucht werden.
Deltamethode	Das BAFU nutzt die Deltamethode zur Berechnung von Konfidenzintervallen in den Return Level Plots. Die Methode basiert auf einer Taylor-Entwicklung der Funktion der HQ_T und einer asymptotischen Normalverteilung (für technische Details siehe Coles 2001, S. 33).
Güte auch Anpassungsgüte oder Anpassung	Mass für die Abweichung eines statistischen Modells (theoretische Werte) und einer Menge von Beobachtungen bzw. Messungen (empirische Daten).
HQ_T	Der mittels Verteilungsfunktion für eine vorgegebene Jährlichkeit T bestimmte Hochwasserabfluss. HQ_T ist ein Schätzwert, der über oder unter dem wahren Wert der Hochwasserabflüsse mit statistisch gesehen T -jährlicher Wiederkehrperiode liegen kann. HQ_T wird auch als Wiederkehrwert bezeichnet. Die mit den parametrischen Verfahren berechneten HQ_T gelten für eine ganze Periode (stationärer Fall) bzw. das aktuelle Berichtsjahr (nicht-stationärer Fall).
Konfidenzintervall auch Vertrauensintervall	Konfidenzintervalle beschreiben die Unsicherheit des Outputs eines statistischen Modells. Sie berücksichtigen dabei den Fehler des Modells selbst, nicht aber weitere Unsicherheiten (z.B. Messfehler).
Maximum-Likelihood-Methode	Bezeichnung für ein Verfahren, das die Parameter einer Verteilungsfunktion aus den Informationen einer Stichprobe schätzt, indem der Maximum-Likelihood-Wert der Funktion maximiert wird.
Parametrische Verfahren	Ein wichtiges Ziel der Statistik ist es, mittels der Daten einer Stichprobe Aussagen über eine unbekannte Grundgesamtheit herzuleiten. Dafür eignen sich u. a. parametrische Verfahren, bei welchen angenommen wird, dass die Grundgesamtheit eine vorgegebene Wahrscheinlichkeitsverteilung besitzt, welche durch einen oder mehrere Parameter eindeutig bestimmt ist. Die beiden betrachteten Verfahren stützen sich auf die Allgemeine Extremwertverteilung (BLOCK), bzw. auf die Allgemeine Pareto-Verteilung (POT), weil diese Verteilungen die Natur der Daten (Blockmaxima, bzw. Daten ab einem gewissen Schwellwert) am besten reflektieren (siehe Coles 2001).
Block-Maximum-Ansatz (BLOCK)	Der Block Maximum Ansatz (BLOCK) definiert den höchsten Wert innerhalb eines Zeitintervalls (Block, im vorliegenden Fall ein Jahr) als Extremwert (siehe Leitfaden Kapitel 2.1.1 oder Coles 2001, Kapitel 3.1).
Peaks Over Threshold (POT)	Beim Peaks-Over-Threshold-Ansatz (POT) gelten Werte als Extremereignisse, wenn sie einen gewissen Schwellenwert u (in m^3/s bzw. l/s) überschreiten. Die verwendeten Daten werden vorgängig von Clustern befreit (siehe Leitfaden Kapitel 2.1.2 oder Coles 2001, Kapitel 4.2).
Probability Plot (P-P-Plot)	Exploratives, grafisches Werkzeug, in dem die Verteilungsfunktionen zweier statistischer Variablen gegeneinander aufgetragen werden, um ihre Verteilungen zu vergleichen. Hier: aufsummierte empirische Häufigkeiten vs. die theoretische, kumulierte Verteilungsfunktion. Je besser die Daten auf der Einheitsdiagonale liegen, desto mehr kann davon ausgegangen werden, dass die Modellannahmen korrekt sind. (Enthält die gleichen Informationen wie der Q-Q-Plot, dargestellt auf einer unterschiedlichen Skala.)

Quantile Plot (Q-Q-Plot)	Exploratives, grafisches Werkzeug, in dem die Quantile zweier statistischer Variablen gegeneinander aufgetragen werden, um ihre Verteilung zu vergleichen. Hier: beobachtete Abflusswerte vs. die mit Hilfe eines Modells berechneten Abflussdaten. Stimmen die empirischen und theoretischen Quantile annähernd überein, liegen die Werte in der Grafik nahe der Diagonalen. (Enthält die gleichen Informationen wie der P-P-Plot, dargestellt auf einer unterschiedlichen Skala.) Hinweis: Die theoretischen Quantile werden aus der Umkehrfunktion der Verteilungsfunktion berechnet. Für den direkten, optischen Vergleich mit dem entsprechenden Probability Plot sind die Achsen des Quantile Plots daher vertauscht.
Stationarität	Beobachtet man bei einer Messstation, dass sich das Abflussverhalten über die Beobachtungsperiode nicht wesentlich ändert, so empfiehlt es sich, ein stationäres Modell zu verwenden. Im stationären Fall wird angenommen, dass alle Parameter der Verteilungsfunktion über den gesamten Untersuchungszeitraum konstant sind.
Nicht-Stationarität	Nicht-stationäre Modelle werden verwendet, um ein Abflussverhalten zu beschreiben, welches zeitlichen Änderungen unterliegt. Solche Änderungen können durch einen Wechsel der Messgeräte und Messmethoden, durch Stationsverlagerung, durch Gerinneveränderungen und durch anthropogene Einflüsse verursacht werden. Bei anthropogenen Einflüssen können die Veränderungen meist nicht einem einzelnen Eingriff zugeordnet werden, sondern sie bestehen aus Überlagerungen von verschiedenen, wasserwirtschaftlichen Massnahmen. Werden zeitliche Veränderungen der Daten vermutet, werden die Parameter der entsprechenden Verteilungsfunktion zeitlich abhängig modelliert. Dies führt dazu, dass sich auch die berechneten HQ_T über die Zeit verändern.
Verteilungsfunktion	Beschreibt die Grundgesamtheit der Hochwasserabflüsse aus einem Einzugsgebiet. Die Verteilungsfunktion gibt die Wahrscheinlichkeiten an, dass ein Hochwasserabfluss HQ in einem Jahr erreicht oder unterschritten wird.
Empirische Häufigkeitsverteilung	Kann aus der gewählten Stichprobe bestimmt werden.
Theoretische Wahrscheinlichkeitsverteilung	Schliesst von der gewählten Stichprobe auf die Grundgesamtheit. Es gibt viele verschiedene theoretische Verteilungsfunktionen, welche die Voraussetzungen für die Anwendung in der Hochwasserstatistik erfüllen, aber keine, die für alle Stichproben die besten Resultate gewährleistet.
Verteilungsparameter	
κ Formparameter (kappa)	Der Formparameter κ steht in direktem Zusammenhang mit der sogenannten "Heaviness of Tail" der Verteilung. Als Tail wird der Bereich mit den Ausreißern nach oben bezeichnet. Ist κ gross, so werden viele solche Ausreisser angenommen. Bei negativen Werten für κ hingegen wird angenommen, dass für die Extremwerte eine obere Schranke existiert.
λ Ereignisrate (lambda)	Beim POT-Ansatz entspricht die Ereignisrate λ der mittleren Anzahl Schwellenwertüberschreitungen während des Zeitintervalls von einem Jahr.
μ Lageparameter (mu)	Beschreibt die mittlere Lage der Stichprobenelemente (hier: Abflussmessungen) in Bezug auf die Messskala (hier: m^3/s bzw. l/s).